

図2※ 樽前山 最近の火山活動経過図 (1995年1月～2007年10月)

- ・ A火口の温度は1999年から、B噴気孔群の火口温度は2002年以降高温の状態が続いています。
- ・ 地震回数は1996年以降増減を繰り返しています。2005年11月に一時的に地震が増加しましたが、その後は少ない状態で経過しています。

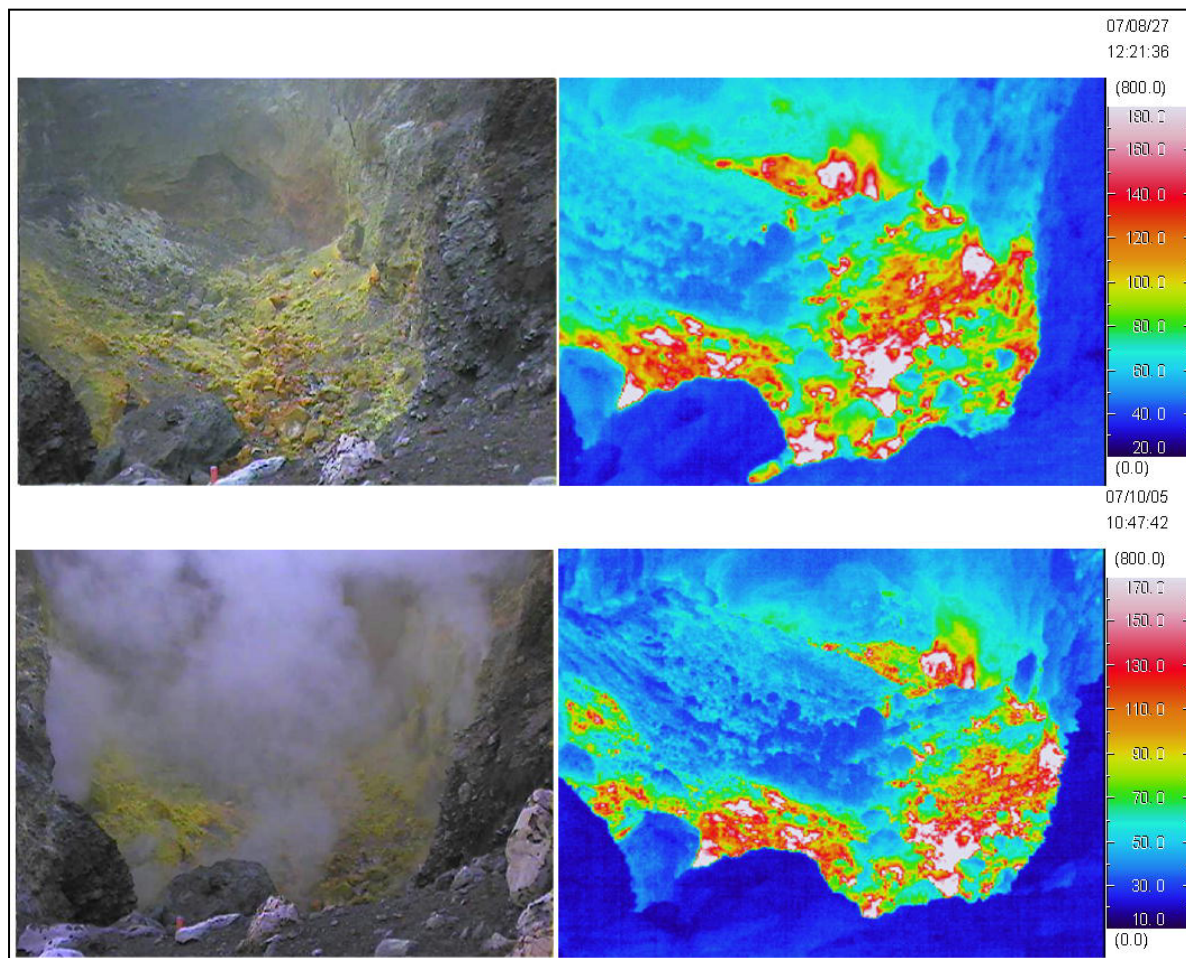


図3 樽前山 赤外熱映像装置¹⁾による南東側から撮影したA火口の地表面温度分布
(上：2007年8月27日 下：2007年10月5日 撮影距離約40m)

- ・10月5日に実施した赤外熱映像装置¹⁾による観測では、A火口の温度は約530°C（前回2007年8月：約520°C）で、依然として高温の状態が続いていました。



図4 樽前山 B噴気孔群の状況
(10月11日 西山尾根から撮影)

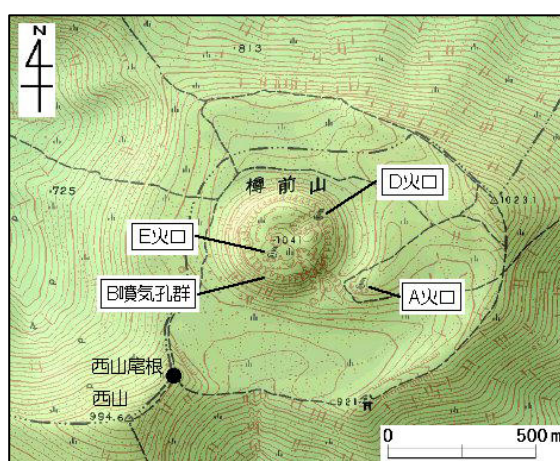


図5 樽前山 火口周辺図

- ・10月5日に実施した観測では、B噴気孔群の温度は約350°C（前回2007年5月：約340°C）で、依然として高温の状態が続いていました。
- ・その他の火口の状況に特段の変化はありませんでした。

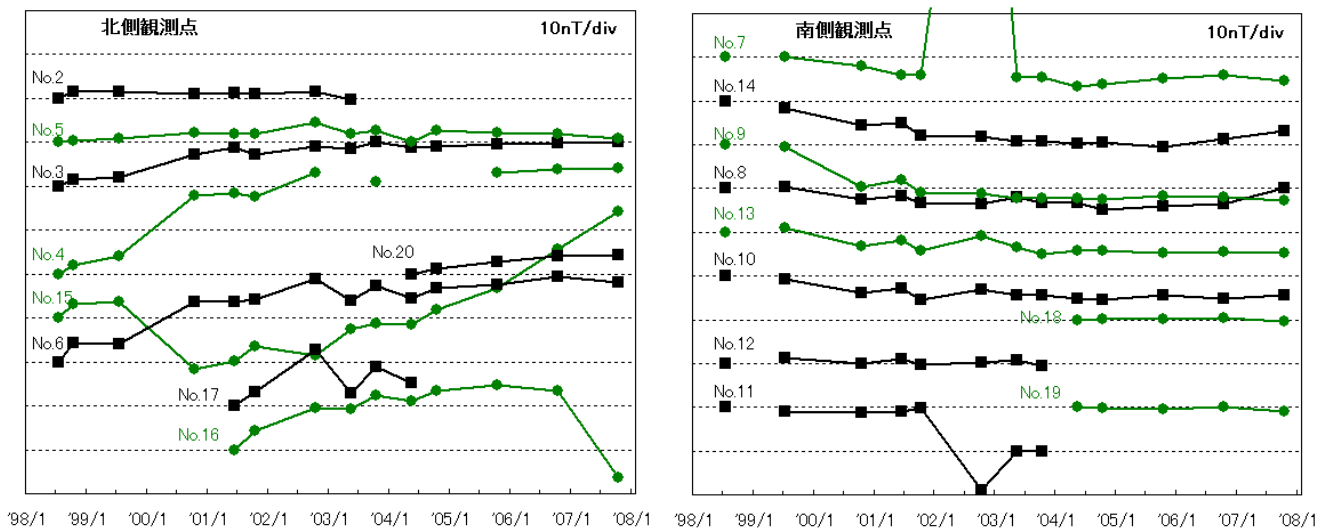
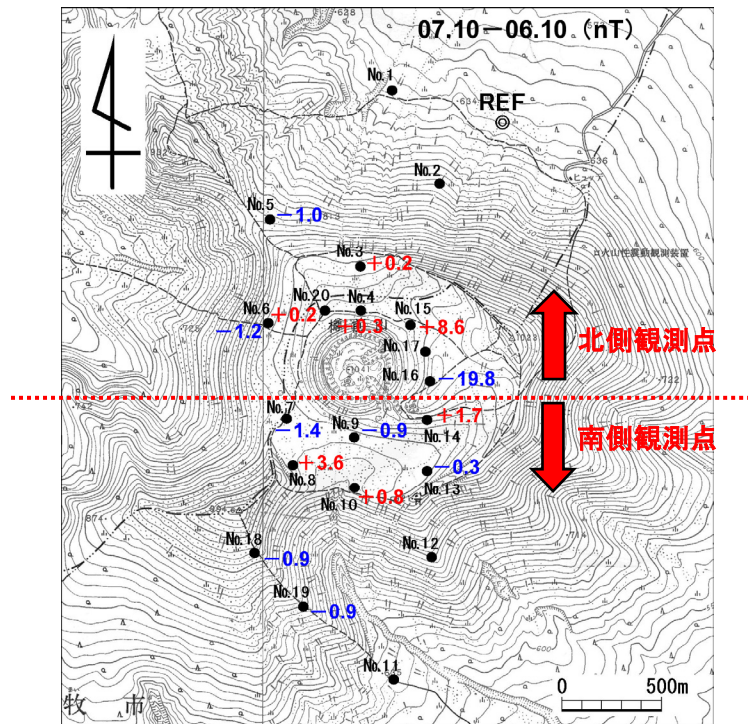


図6 樽前山 繰り返し観測による全磁力変化 (北側山腹 No. 1 : 基準点 北側山腹 REF : 参照点)

上 : 全磁力変化の水平分布 (2006 年 10 月と 2007 年 10 月の差)

下 : 全磁力値の時間変化 (1998 年 7 月～2007 年 10 月)

No. 15、No. 16 の変化は地形変化等、火山活動に関連しない変化と考えられます。

・ 山体内部の温度上昇を示す変化は認められませんでした。

<補足> 全磁力値の変化と、示唆される火口直下の温度変化

火口北側の観測点: 増加 傾向 (図中 上向き)	➡	火口直下での温度上昇を示唆する変化
火口南側の観測点: 減少 傾向 (図中 下向き)	➡	火口直下での温度低下を示唆する変化
火口北側の観測点: 減少 傾向 (図中 下向き)	➡	火口直下での温度低下を示唆する変化
火口南側の観測点: 増加 傾向 (図中 上向き)	➡	火口直下での温度上昇を示唆する変化

表 1 樽前山 地震・微動の月回数 (C点 : 図7の TARC)

2006~2007年	11月	12月	1月	2月	3月	4月	5月	6月	7月	8月	9月	10月
地震回数	28	123	42	87	40	49	56	45	29	57	42	49
微動回数	0	0	0	0	0	0	0	0	0	0	0	0

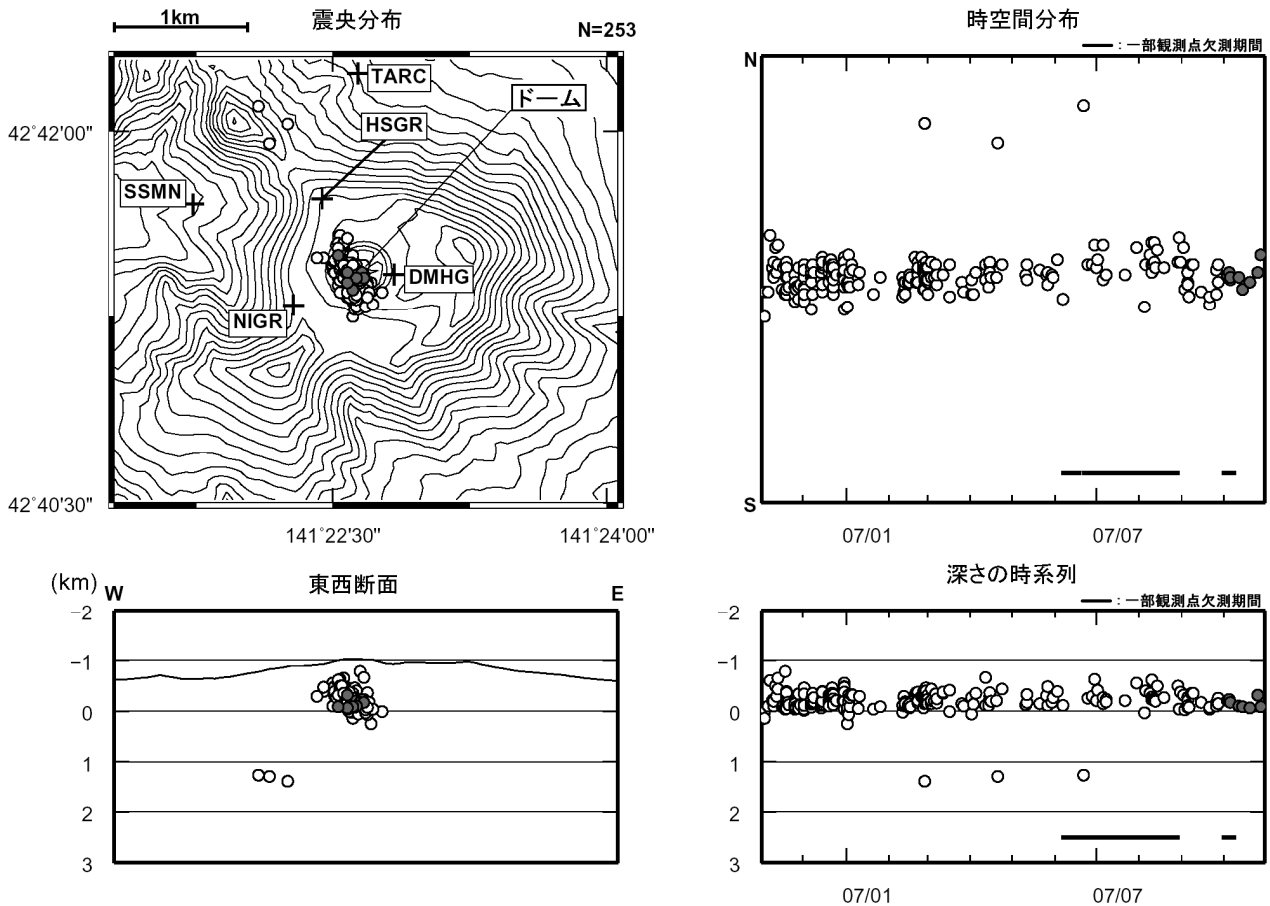


図7 樽前山 震源分布図 (2006年11月~2007年10月、+印:地震観測点)

表示期間中、2007年6月6日~2007年8月30日及び2007年9月27日~2007年10月10日の期間は、一部観測点欠測のため震源決定数が減少し、精度も低下しています。

- 印は今期間 (2007年10月) の震源
- 印は前期間までの11ヶ月間 (2006年11月~2007年9月) の震源
- ・前期間までの震源は山頂ドーム直下のごく浅い所 (山頂から深さ 0.5~1.0km 付近) に集中し、ドームの北西 1.5km 付近の浅い所にも分布しています。今期間に求まった震源もこの領域内に分布しています。

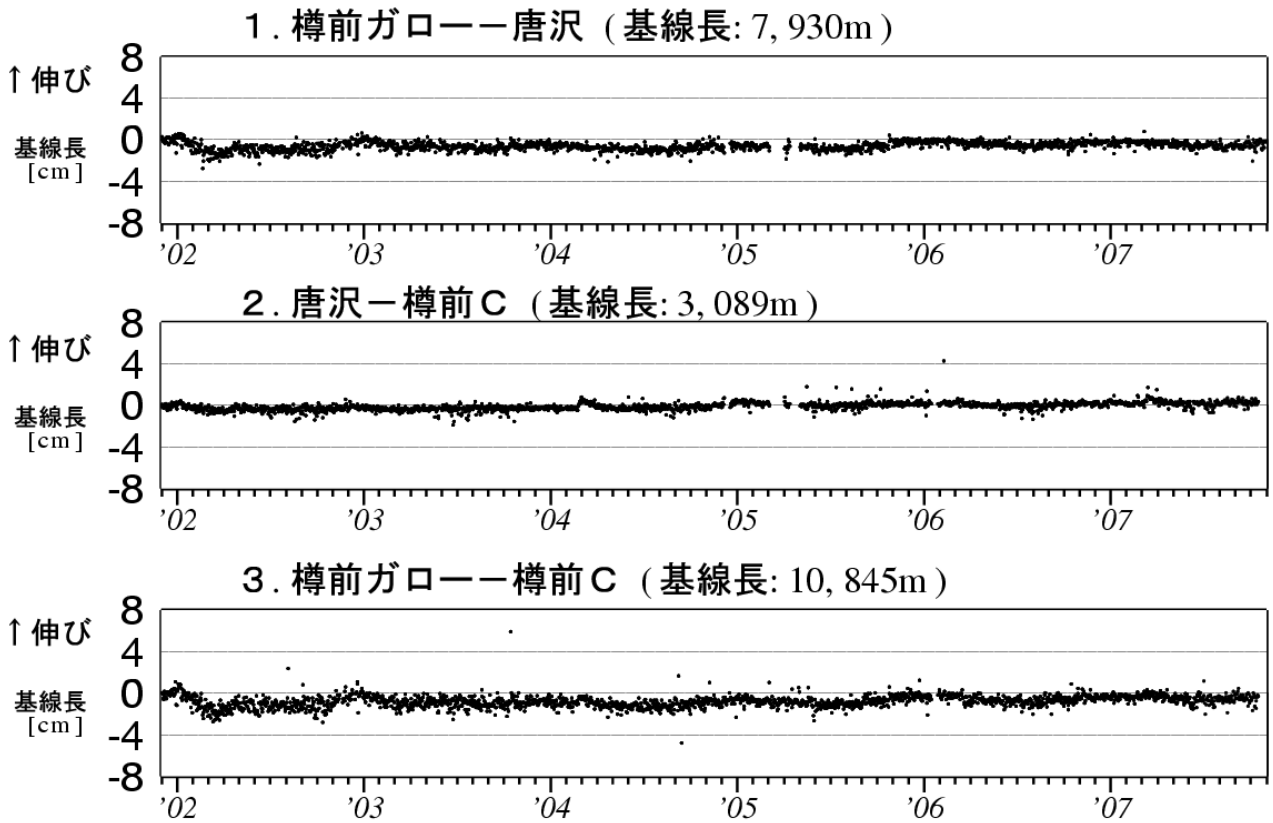


図8 樽前山 GPS 連続観測による基線長変化 (2001 年 12 月~2007 年 10 月)

グラフの空白部分は欠測

図8の1~3は、図9のGPS基線①~③に対応しています。

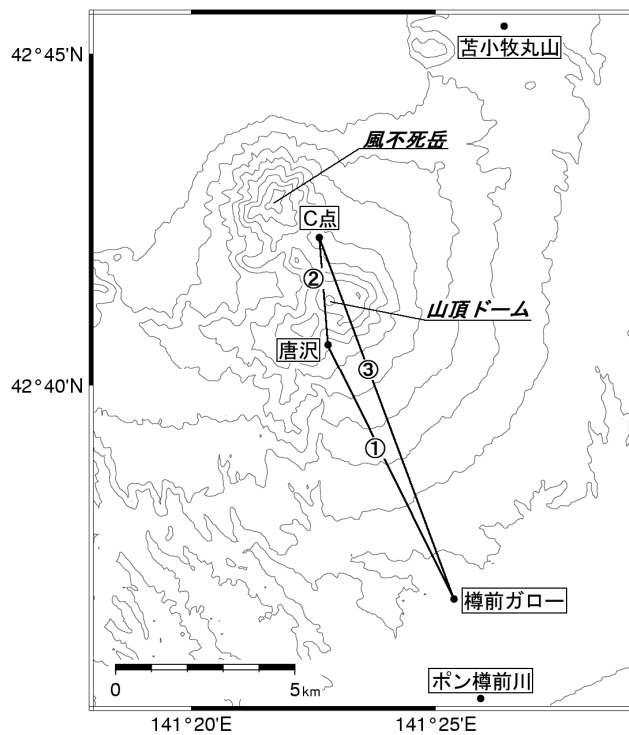


図9 樽前山 GPS 観測点配置図

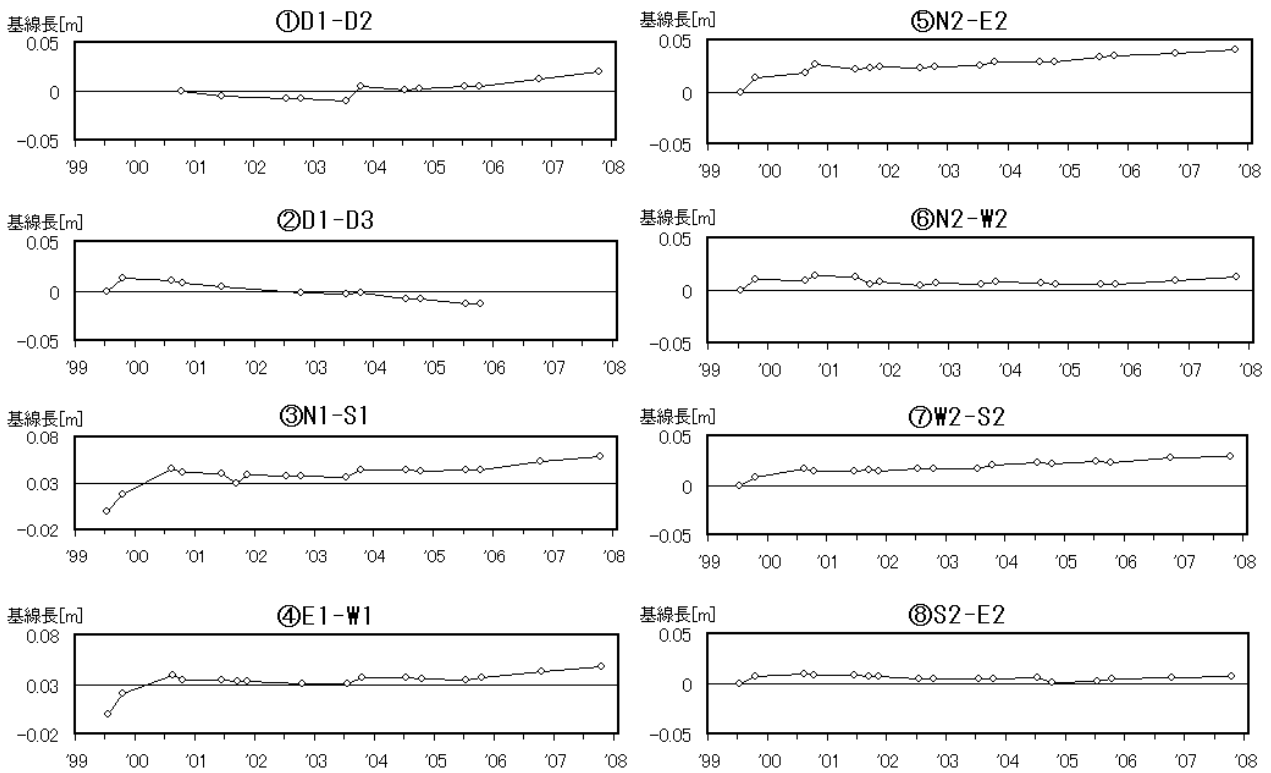


図 10 樽前山 GPS 繰り返し観測による基線長変化(1999 年 7 月～2007 年 10 月)
 図 10 の①～⑧は、図 11 の①～⑧に対応しています。

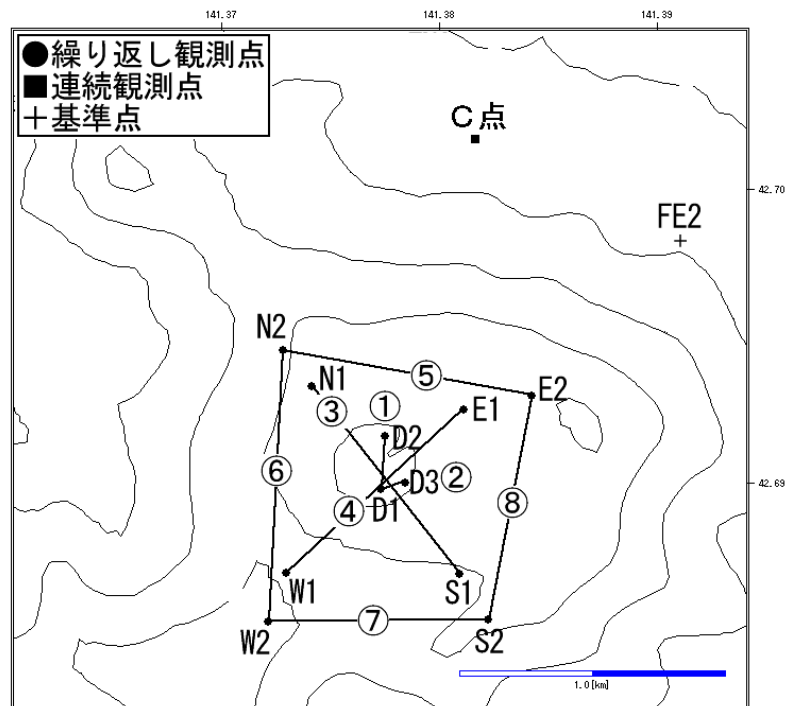


図 11 樽前山 GPS 繰り返し観測点配置図

- ・ 観測開始から 2000 年にかけて、山頂ドーム直下が膨張したと考えられる伸びがドーム周辺の基線で観測されました。また、2003 年にも伸びが観測されました。
- ・ 現在もわずかな伸びの傾向が継続していますが、これらの期間に比べると変動量は小さくなっています。